

А. М. Елизаров, Е. В. Федоров

РЕШЕНИЕ ВАРИАЦИОННЫХ ОБРАТНЫХ КРАЕВЫХ ЗАДАЧ АЭРОГИДРОДИНАМИКИ МЕТОДАМИ ЧИСЛЕННОЙ ОПТИМИЗАЦИИ

Как известно, в обратных краевых задачах теории аналитических функций на искомым участках границы области задаются два краевых условия [1]. Если одно из них заменяется оптимизационным, обратную задачу называют вариационной [2]. Вариационные обратные краевые задачи аэрогидродинамики (ОКЗА) заключаются в построении крыловых профилей, обладающих оптимизированными характеристиками (максимальными подъемной силой или качеством, минимальным сопротивлением и др.). Постановки таких задач восходят, по существу, к работе М. А. Лаврентьева [3], в которой сформулирована задача оптимизации формы профиля с учетом условий, обеспечивающих безотрывность обтекания большей части его контура.

Из результатов [4] следует (см. [5]), что среди профилей с гладким контуром заданной длины максимальную подъемную силу при плавном обтекании имеет круг. Однако он не соответствует требованиям аэродинамического проектирования хотя бы потому, что при реальном обтекании с его поверхности будет происходить отрыв жидкости.

Численно-аналитический метод максимизации подъемной силы профиля с острой выходной кромкой, обтекаемого идеальной несжимаемой жидкостью, при ограничениях, выражающих упрощенные условия безотрывности обтекания, предложен в [5]. Величина подъемной силы R_y представлена через коэффициенты Фурье функции, связанной с конформным отображением единичного круга во вспомогательной плоскости на внешность профиля. Экстремум R_y достигается за счет варьирования конечного набора этих коэффициентов при указанных дополнительных ограничениях. Условия замкнутости контура удовлетворяются эмпирически.

Известны также решения вариационных ОКЗА, учитывающие вязкость потока в рамках теории пограничного слоя. В ряде работ (например, [6—9]) оптимизировались профильное сопротивление или аэродинамическое качество для семейств профилей с параметрически заданным контуром, обтекаемых вязкой несжимаемой жидкостью при различных предположениях о строении пограничного слоя. В качестве ограничений задавались коэффициент подъемной силы C_y , угол атаки α и максимальная толщина профиля или α и площадь профиля, а также критерий безотрывности обтекания. Для каждого профиля такого семейства в результате решения прямой задачи рассчитывались аэродинамические характеристики, а их оптимизация проводилась за счет выбора значений свободных параметров при указанных выше ограничениях. Аналогичные результаты получены в задачах обтекания профилей дозвуковым или трансзвуковым потоками газа, в том числе и вязкого. Обзор этих работ можно найти в [10].

Другой подход к аэродинамической оптимизации крыловых профилей, основы которого изложены в [11], базируется на теории обратных краевых задач [1] и развивается в настоящей работе. Ниже построены оптимизированные профили, обтекаемые безотрывно при различных условиях безотрывности, проведено сравнение этих решений, сделаны выводы. Доказано, что условие безотрывности для полностью турбулентного пограничного слоя обеспечивает безотрывность потока и при наличии ламинарных участков на конфузорной части контура. Приведены условия физической реализуемости решения, налагаемые на множество уп-

равляющих функций и связанные с построением однолистных крыловых профилей. Исследованы задачи оптимизации с дополнительными ограничениями на аэродинамические характеристики и для диапазона углов атаки.

1. Функционалы для оптимизации аэродинамических характеристик. В [11] при оптимизации формы крыловых профилей использовано следующее интегральное представление решения основной ОКЗА [1]:

$$(1.1) \quad z(\xi) = e^{-i\beta} \int_1^{\xi} \exp \left[- (2\pi)^{-1} \int_0^{2\pi} g(\gamma) \frac{e^{i\gamma} + \xi}{e^{i\gamma} - \xi} d\gamma \right] d\xi, \quad |\xi| > 1.$$

Здесь $g(\gamma) = a_0 + P(\gamma) + h(\gamma)$; $h(\gamma) = (\varepsilon - 1) \ln [2 \sin(\gamma/2)]$; a_0 , ε и β — постоянные ($1 \leq \varepsilon \leq 2$, $0 \leq \beta \leq \pi/2$); управляющая гельдеровская функция $P(\gamma)$ удовлетворяет условиям

$$(1.2) \quad \int_0^{2\pi} P(\gamma) e^{i\gamma} d\gamma = \pi(\varepsilon - 1), \quad \int_0^{2\pi} P(\gamma) d\gamma = 0.$$

Функция $z(\xi)$ в (1.1) конформно отображает внешность единичного круга в плоскости ξ на внешность крылового профиля, ограниченного замкнутой кусочно-ляпуновским контуром L_z с острой кромкой в точке $z=0$, где внутренний к области течения угол равен $\varepsilon\pi$, и обтекаемого идеальной несжимаемой жидкостью с заданной скоростью набегающего потока. Постоянная β равна теоретическому углу атаки (углу отклонения профиля от направления бесциркуляционного обтекания), а постоянная a_0 определяет величину L периметра L_z .

Рассмотрим класс профилей с фиксированным периметром L контура. Пусть каждый из профилей плавно обтекается плоско-параллельным безграничным установившимся потоком несжимаемой вязкой жидкости при реально больших числах Рейнольдса. Систему координат выберем так, чтобы ось абсцисс была параллельна вектору скорости набегающего потока, величину v_∞ этой скорости и плотность ρ жидкости считаем известными. При моделировании такого течения с учетом малости толщины вытеснения δ^* пограничного слоя на профиле и в следе в качестве потенциального потока около полубесконечного тела вытеснения приближенно рассматривают (см., например, [12, 13]) потенциальное обтекание профиля идеальной жидкостью. При указанных предположениях подъемная сила R_y , профильное сопротивление R_x и аэродинамическое качество K с учетом (1.1) выражаются в виде следующих функционалов [11], заданных на множестве допустимых функций $P(\gamma)$:

$$(1.3) \quad R_y = 2^{3-\varepsilon} \rho v_\infty^2 L \sin \beta / J(P), \quad R_x = 2^{2,2} \rho v_\infty^2 L (2Aa)^{1/a} \text{Re}^{1/a-1} D(P), \\ K = R_y/R_x = 2^{-1,2} \pi \sin \beta (2Aa)^{-1/a} \text{Re}^{1-1/a} / E(P).$$

Здесь

$$J(P) = \int_0^{2\pi} [\sin(\gamma/2)]^{\varepsilon-1} \exp P(\gamma) d\gamma; \\ D(P) = B(P) [J(P)]^{-1/a}; \quad E(P) = B(P) [J(P)]^{1-1/a}; \\ B(P) = \left\{ \left[\int_0^{\pi+2\beta} G_2(P; \gamma) d\gamma \right]^{1/a} + \left[\int_{\pi+2\beta}^{2\pi} G_2(P; \gamma) d\gamma \right]^{1/a} \right\} \times \\ \times \{ \cos \beta \exp [-P(0)] \}^r, \quad r = 3, 2 - (7-a)/(3-a);$$

$\text{Re} = v_\infty L/\nu$; A и a — взаимосвязанные эмпирические постоянные, определяемые методом расчета турбулентного пограничного слоя (конкретные их значения приведены ниже); ν — известный кинематический коэффициент вязкости;

$$(1.4) \quad G_2(P; \gamma) = \sin(\gamma/2) |\cos(\gamma/2 - \beta)|^{3(a+1)/(3-a)} \exp [-4aP(\gamma)/(3-a)].$$

Отметим, что для известных моделей расчета пограничного слоя величина r незначительно отличается от нуля. Это позволяет несколько упростить выражение для $B(P)$, положив $r = 0$.

Таким образом, в силу (1.3) при фиксированных ρ , v_∞ и β для максимизации R_y , K и минимизации R_x нужно минимизировать соответственно функционалы $J(P)$, $E(P)$ и $D(P)$ на множестве U управляющих функций $P(\gamma)$, которые помимо (1.2) должны удовлетворять условию безотрывности обтекания и гарантировать физическую реализуемость получаемого решения.

2. Ограничения на управляющие функции. Как отмечено выше, одним из основных ограничений на управляющие функции $P(\gamma)$ должно быть условие безотрывности обтекания соответствующего профиля. В приближении теории пограничного слоя известные критерии отсутствия отрыва турбулентного потока могут быть представлены в виде [12, 13]

$$(2.1) \quad f(s) \geq f_*, \quad f_* = -\mu/A \quad (f(s) = v'(s) f_{II}(s));$$

$$(2.2) \quad f_{II}(s) = a |v(s)|^{-b} \left| \int_{s_{II}}^s [v(\tau)]^{b-1} d\tau + C \right|,$$

где $a = (m+1)/m$; $b = 2(4m+1)/(2m-1)$; $v(s)$ — распределение скорости по L_z ; s ($0 \leq s \leq L$) — дуговая абсцисса, отсчитываемая от задней кромки так, что область течения остается слева; s_{II} ($s_* \leq s_{II} < L$ или $0 < s_{II} \leq s_*$) — абсцисса точки перехода ламинарного течения в турбулентное на верхней или нижней поверхностях L_z ; s_* — дуговая абсцисса точки разветвления потока; f_* , A и m — известные эмпирические постоянные. В частности, $m = 4$, $f_* = -5,57 \div -4,77$ по Прандтлю — Бури, $m = 6$, $f_* = -3 \div -2$ по Лойцяносскому, $m = \infty$, $f_* = -0,8 \div -0,7$ по Бам-Зеликовичу, $m = 6$, $f_* = -6$ по Кочину — Лойцяносскому; $A = 0,01256$ при $m = 4$ и $A = 0,00655$ при $m = 6$ [12, § 54]. Постоянная C в (2.2) характеризует участок ламинарного течения и может быть рассчитана, например, по формуле [14, § 12]

$$(2.3) \quad C = v_{II}^{b-2} v (\text{Re}_{II}^{**})^a / (aA), \quad \text{Re}_{II}^{**} = \left[a_1 v^{-1} v_{II}^{2-b_1} \left| \int_{s_*}^{s_{II}} [v(\tau)]^{b_1-1} d\tau \right| \right]^{1/2}$$

($a_1 = 0,45$, $b_1 = 5,35$, $v_{II} = v(s_{II})$). Для определения положения точки s_{II} перехода в пограничном слое воспользуемся эмпирическим критерием Эшплера [15], согласно которому переход ламинарного течения в турбулентное имеет место, если

$$\ln \text{Re}_{II}^{**}(s) \geq \text{Re}_T = 18,4H_{32} - 21,74, \quad \text{Re}_{II}^{**}(s) = v(s) \delta^{**}(s) / \nu,$$

где $H_{32} = H_{32}(s)$ — толщина потери энергии в пограничном слое; $\delta^{**}(s)$ — толщина потери импульса. Применяя метод расчета ламинарного слоя [14, § 112], конкретные значения Re_T определим интерполяцией по величине H , которая в свою очередь является функцией формпараметра f (см. табл. 17 в [14]). В результате интерполяции получим монотонно убывающую функцию

$$(2.4) \quad H_{32} = G(H), \quad 1,9 \leq H \leq 4,03, \quad 1,515 = G(4,03) \leq G(H) \leq G(1,9) = 1,7.$$

Таким образом, величина s_{II} должна быть наименьшим из корней уравнения

$$(2.5) \quad \text{Re}_{II}^{**}(s) = \exp \{18,4G[H(s)] - 21,74\}.$$

Предположим, что точка s_{II} находится на конфузорном участке. Используя это, покажем, что справедлива оценка

$$(2.6) \quad f_{II}(s) \leq f_0(s).$$

Здесь $f_0(s)$ определяется формулой (2.2) при $s_{II} = s_*$, $C = 0$ и соответствует чисто турбулентному пограничному слою.

Пусть s отвечает точкам верхней поверхности профиля (случай нижней поверхности рассматривается аналогично). В силу (2.2), (2.3) для доказательства неравенства (2.6) достаточно обосновать оценку

$$C \leq \int_{s_*}^{s_{\Pi}} [v(\tau)]^{b-1} d\tau.$$

Учитывая, что $b_1 > b$ и $v(s)/v_{\Pi} \leq 1$ при $s_* \leq s \leq s_{\Pi}$, имеем

$$\int_{s_*}^{s_{\Pi}} [v(\tau)]^{b-1} d\tau = v_{\Pi}^{b-1} \int_{s_*}^{s_{\Pi}} [v(\tau)/v_{\Pi}]^{b-1} d\tau \geq v_{\Pi}^{b-b_1} \int_{s_*}^{s_{\Pi}} [v(\tau)]^{b_1-1} d\tau.$$

Из (2.3) следует

$$\int_{s_*}^{s_{\Pi}} [v(\tau)]^{b_1-1} d\tau = v \operatorname{Re}_{\Pi}^{**2} v_{\Pi}^{b_1-2} / a_1.$$

С использованием предыдущего неравенства выводим

$$\int_{s_*}^{s_{\Pi}} [v(\tau)]^{b-1} d\tau \geq v \operatorname{Re}_{\Pi}^{**2} v_{\Pi}^{b_1-2} / a_1.$$

Значит, неравенство (2.6) будет выполнено, если $\operatorname{Re}_{\Pi}^{**2-a} \geq a_1/(aA)$. Из (2.4) и (2.5) вытекает, что $\operatorname{Re}_{\Pi}^{**2} \geq (462,2)^{2-a}$. Таким образом, для выполнения (2.6) достаточно, чтобы параметры a и A удовлетворяли ограничению $a_1/(aA) \leq (462,2)^{2-a}$. Проверка последнего неравенства для различных наборов параметров a и A показала, что это неравенство имеет место. Итак, свойство (2.6) доказано. Из него следует, что для обеспечения безотрывности обтекания в случае, когда s_{Π} находится на конфузурном участке, достаточно потребовать выполнения условия (2.1) в предположении полной турбулентности пограничного слоя ($s_{\Pi} = s_*$, $C = 0$). Последнее условие в выражении через функцию $P(\gamma)$ при $\varepsilon = 2$ принимает вид [11]

$$(2.7) \quad (-1)^j G_1(P; \gamma) \geq f_{0j} G_0(P; \gamma), \quad f_{0j} \geq f_*, \quad j = 1, 2, \\ \gamma \in [0, \pi + 2\beta] \text{ при } j = 1, \quad \gamma \in [\pi + 2\beta, 2\pi] \text{ при } j = 2,$$

$$G_0(P; \gamma) = G_2(P; \gamma) \left[a \left| \int_{\pi+2\beta}^{\gamma} G_2(P; \gamma) d\gamma \right| \right]^{-1},$$

$$G_1(P; \gamma) = -P'(\gamma) - 0,5 \operatorname{tg}(\gamma/2 - \beta),$$

оператор G_2 определен в (1.4), $j = 1$ отвечает верхней поверхности L_z , а $j = 2$ — нижней. Так как неравенство (2.1) может иметь место всюду на L_z только при $\varepsilon = 2$, всюду в дальнейшем будем рассматривать этот случай. Отметим, что функционал $J(P)$ строго выпуклый, а функция $P_*(\gamma) = (1 - \varepsilon) \ln(2 \sin(\gamma/2))$, дающая при ограничениях (1.2) его глобальный минимум в пространстве L_2 , не является гельдеровской и не удовлетворяет (2.7). Следовательно, экстремум $J(P)$ достигается на границе множества гельдеровских функций, удовлетворяющих условиям (1.2) и (2.7). Аналогична ситуация и в задачах минимизации $E(P)$ и $D(P)$.

3. Условия физической реализуемости решения. Ограничения (1.2) и (2.7) на множество U не гарантируют получения физически реализуемого решения, в частности, профиля с простым контуром. Трудности по обеспечению этого свойства связаны с отсутствием необходимых и достаточных условий однолистности решения, которые выражались бы через функцию $P(\gamma)$. Простоты контура L_z можно добиться, если на U наложить любое из достаточных условий однолистности решения ОКЗА (например, [16]). Однако эти условия характеризуют лишь некоторые

подклассы из множества однолистных решений, что приводит к значительному сужению множества U . Поэтому целесообразнее сузить U за счет исключения из него части неоднolistных решений, используя необходимые условия однолиственности. Укажем некоторые из них, достаточно просто выражающиеся через функцию $P(\gamma)$.

Рассмотрим множество профилей с бесконечно тонкой задней кромкой ($\epsilon = 2$), ограниченных ляпуновскими контурами L_z , кривизна которых всюду ограничена. Развивая утверждение Г. Ю. Степанова о невозможности для однолистных профилей монотонно возрастающих от точки разветвления до точки схода потока распределений $v(s)$, высказанное на школе «Современные проблемы механики жидкости и газа» в Иркутске (1988 г.), Ф. Г. Авхадиев показал (доклад на семинаре в НИИ математики и механики при Казанском университете 14.11.89 г.), что достаточным для неоднolistности области течения является условие*

$$(3.1) \quad v_{01}(\gamma) + v_{02}(2\pi - \gamma) \leq 2v_0(0), \quad 0 \leq \gamma \leq \pi.$$

Здесь $v_0(\gamma) = |v_0[s(\gamma)]|$; $v_0(s)$ — распределение скорости на L_z , соответствующее бесциркуляционному режиму обтекания; $v_{01}(\gamma) = v_0(\gamma)$ при $0 \leq \gamma \leq \pi$ (на верхней поверхности L_z); $v_{02}(\gamma) = v_0(\gamma)$ при $\pi \leq \gamma \leq 2\pi$ (на нижней). Из (3.1), естественно, следует, что для однолистных профилей недопустимы монотонно возрастающие распределения $v_0(s)$.

Из утверждения Ф. Г. Авхадиева вытекает, что для простых замкнутых L_z необходимо выполнение неравенства, обратного к (3.1):

$$(3.2) \quad \max_{0 < \gamma < \pi} [v_{01}(\gamma) + v_{02}(2\pi - \gamma)] > 2v_0(0).$$

Используя условие

$$(3.3) \quad v[s(\gamma)] = 2u_0 |\cos(\gamma/2 - \beta)| \exp[-a_0 - P(\gamma)],$$

где u_0 — известная постоянная, из (3.2) выводим неравенство

$$(3.4) \quad \max_{0 < \gamma < \pi} \Phi(P; \gamma) > 0,$$

$$\Phi(P; \gamma) = \cos(\gamma/2) \{ \exp[-P(\gamma)] + \exp[-P(2\pi - \gamma)] \} - 2 \exp[-P(0)].$$

При выполнении (3.4) будет также справедливо неравенство

$$(3.5) \quad \max_{0 < \gamma < 2\pi} \{ |\cos(\gamma/2)| \exp[-P(\gamma)] \} > \exp[-P(0)],$$

эквивалентное условию $\max_{0 < \gamma < 2\pi} v_0(\gamma) > v_0(0)$. В силу (3.1) оно также является необходимым условием однолиственности, но определяет более широкое, чем (3.4), множество допустимых функций $P(\gamma)$. Отметим, что в случае симметричных профилей условия (3.4) и (3.5) совпадают.

Числовые расчеты показали, что при минимизации функционалов $E(P)$, $D(P)$ для любых β и минимизации $J(P)$ при $\beta \geq 0,2$ неучет дополнительных требований, связанных с обеспечением физической реализуемости решения, приводит к неоднolistным профилям, а среди оптимальных профилей, полученных с использованием условия (3.4), встречаются неоднolistные. Поэтому целесообразно вместо (3.4) применять более жесткие ограничения. Одно из них, построенное по аналогии с (3.2) и использованное в вычислительном эксперименте, записывается следующим образом:

$$(3.6) \quad v_{01}(\gamma) + v_{02}(2\pi - \gamma) > 2v_0(0), \quad 0 \leq \gamma \leq \gamma_0 < \pi$$

(γ_0 — фиксированная величина). В выражении через $P(\gamma)$ неравенство (3.6) принимает вид

$$(3.7) \quad \Phi(P; \gamma) > 0, \quad 0 \leq \gamma \leq \gamma_0.$$

Будучи более жестким, чем (3.4), ограничение (3.7) допускает возможность потери однолистных решений. В то же время при значениях γ_0 ,

* Результат упоминается с согласия автора.

близких к π , учет ограничения (3.7), как показали расчеты, дал однолистные решения.

4. Численная оптимизация. Функции $P(\gamma)$, доставляющие минимум функционалам J , D и E на множестве U , отыскивались в виде тригонометрических полиномов $P_N(\gamma) = \sum_{l=1}^N (a_l \cos l\gamma + b_l \sin l\gamma)$, где N — заданная

величина и в силу (1.2) $a_1 = \varepsilon - 1$, $b_1 = 0$. Для обеспечения гельдеровости $P_N(\gamma)$ с фиксированным коэффициентом A_0 на постоянные a_l , b_l накладывались ограничения

$$|a_l| \leq (A_0 - 1) / [2^{1/2} l (N - 1)], \quad |b_l| \leq (A_0 - 1) / [2^{1/2} l (N - 1)], \quad l = 2, \dots, N,$$

причем $A_0 \approx 10^2$. Расчеты показали, что такое значение A_0 не влияет на результаты оптимизации при существенном увеличении длины N отрезка ряда Фурье, т. е. получаемое решение автоматически является гельдеровским с указанным коэффициентом. Для численной реализации условий безотрывности на отрезке $[0, 2\pi]$ выбирались точки γ_j , $j = 1, \dots, M_1$, в каждой из которых проверялось выполнение соответствующего неравенства в (2.7). Аналогично для реализации (3.6) на отрезке $[0, \gamma_0]$ задавались точки $\tilde{\gamma}_j$, $j = 1, \dots, M_2$.

Рассматривая минимизируемые функционалы как функции $2(N - 1)$ неизвестных коэффициентов a_l , b_l , получаем задачу нелинейного программирования размерности $2(N - 1)$ ($M_1 + M_2$). Решение ее осуществлялось релаксационным методом из [17] и потребовало значительных затрат машинного времени, связанного с вычислением интегралов, входящих в минимизируемые функционалы и функцию $G_0(P; \gamma)$. В частности, при $N = 5$, $M_1 = 27$, $M_2 = 13$ одна итерация требует при минимизации $D(P)$ 40 с, а при минимизации $J(P)$ 30 с процессорного времени на ЭВМ ЕС-1046. При этом наибольшее влияние на затраты времени оказывают N . Например, увеличение ее в 2 раза при минимизации $J(P)$ для тех же значений M_1 , M_2 привело к росту времени расчета одной итерации до 140 с. Общее же количество итераций колебалось от единиц до нескольких десятков в зависимости от выбора начального приближения.

На рис. 1—4 представлены оптимизированные профили, безотрывные по Лойцяцкому. Выбор этого критерия объясняется тем, что он дает наилучшее по сравнению с другими критериями совпадение результатов по безотрывности при расчете по более точным моделям.

На рис. 1 показаны профили максимальной подъемной силы (и распределения $v(s)$ для них), полученные при различных β ($\beta = 0,1$ ($5,7^\circ$) — сплошная линия, $\beta = 0,15$ — штриховая, $\beta = 0,2$ — штрихпунктирная). Дуговая абсцисса отнесена к диаметру L , скорости — к заданной

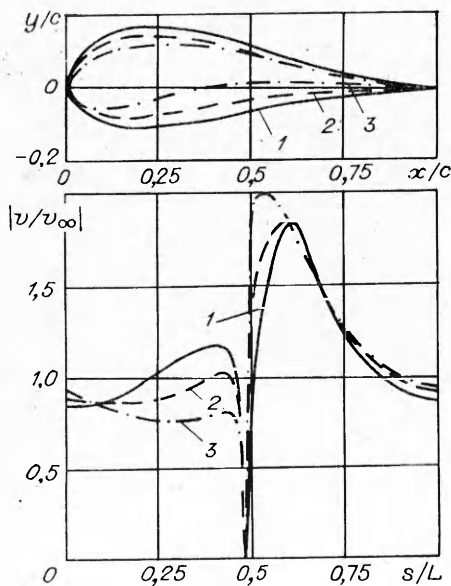


Рис. 1

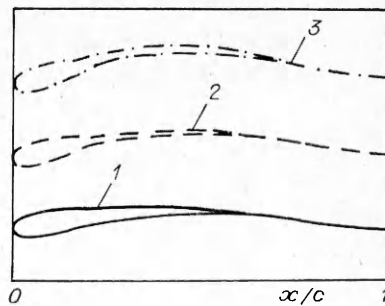


Рис. 2

величине v_{∞} , а координаты контуров — к хорде s . Профили 1—3 на рис. 1 имеют коэффициенты подъемной силы $C_y = 0,748; 1,084; 1,388$ соответственно при углах атаки $\alpha = 3,72; 5,8; 8,64^\circ$. Видно, что с увеличением β , значит, и α оптимальные в смысле подъемной силы профили становятся тоньше, а C_y возрастает. При этом увеличение подъемной силы происходит в основном за счет изменения $v(s)$ на нижней поверхности профиля. Естественный рост скорости в окрестности точки разветвления потока.

На рис. 2 изображены однолистные профили 1—3 минимального сопротивления, полученные для тех же значений β при $Re = 10^6$ и имеющие $C_x = 0,0122; 0,0133$ и $0,0155$ при $\alpha = 2; 3,4$ и $5,4^\circ$.

Описанные профили представляют прежде всего теоретический интерес. Однако, обладая соответствующими экстремальными свойствами, они, как и профили Либика [18], могут служить своеобразными ориентирами, определяющими направление поиска оптимальных аэродинамических форм.

Далее, в результате расчетов выяснилось, что при фиксированных значениях β функционалы $E(P)$ и $D(P)$ незначительно отличаются по своему поведению. Этим объясняется совпадение профилей максимального аэродинамического качества и минимального сопротивления, полученных в результате минимизации указанных функционалов (рис. 2, $K = 53,8; 84,7$ и $84,2$).

Если значение β заранее не фиксировано, то оно наряду с коэффициентами a_i, b_i входит в число искомых параметров при оптимизации. Из (1.3) следует, что для максимизации R_y в этом случае необходимо минимизировать функционал $J_0(P; \beta) = J(P)/\sin \beta$, где $P \in U$, $0 \leq \beta \leq \pi/2$. Вычислительный эксперимент показал, что при увеличении β минимальные значения $J(P)$ также возрастают, но значительно медленнее, чем $\sin \beta$. Поэтому возникает задача отыскания максимального значения β , при котором множество допустимых решений не пусто. Установлено, что при уменьшении β минимальное значение функционала $D_0(P; \beta)$, выражающего профильное сопротивление, уменьшается, а соответствующие профили утоньшаются и приближаются по форме к пластине, обтекаемой под нулевым углом атаки, причем с увеличением N оптимальные профили утоньшаются.

Таким образом, при переменном β максимизации R_y соответствует возрастание угла β , а минимизации R_x — уменьшение β до нуля. Что касается функционала $E_0(P; \beta) = E(P)/\sin \beta$, выражающего аэродинамическое качество, то при возрастании β минимальное значение E_0 сначала убывает, а затем возрастает. В результате имеется единственное значение β , отвечающее абсолютному минимуму E_0 .

На рис. 3 представлены профили 1—3, полученные соответственно в результате минимизации J_0, D_0 и E_0 . Профиль 1 максимизирует R_y и имеет $C_y = 1,499$ при угле атаки $\alpha = 9,6^\circ$. Профиль 2 минимизирует R_x и имеет относительную толщину $0,037$, $C_x = 0,0101$ при $\alpha = 0$ и $Re = 10^6$. Отметим, что найденный коэффициент сопротивления мало отличается от теоретического значения C_x для пластины (например, [14]), которое при $Re = 10^6$ для чисто турбулентного пограничного слоя равно $0,0094$. Профиль 3 максимизирует K и имеет $C_y = 1,382$, $C_x = 0,0163$ при $\alpha = 6^\circ$ и $Re = 10^6$. Для него $K = 84,7$. Для сравнения у профиля 1 $C_x = 0,0199$ и $K = 75,3$ при том же Re .

5. Задачи с дополнительными ограничениями на аэродинамические характеристики. Наряду с задачами, описанными выше, интерес представляет случай, когда оптимизируется одна из аэродинамических характеристик при ограничениях на другие (например, на коэффициенты C_y, C_x или максимальное значение $v(s)$ на контуре). В силу (1.3) все эти ограничения могут быть выражены непосредственно через $P(\gamma)$.

Пусть $C_x \leq \bar{C}_x$ (\bar{C}_x — заданная величина). Учитывая (2.9) и тот факт, что хорда реальных профилей составляет, как правило, 47—49 % от периметра контура, указанное ограничение на C_x при фиксированном

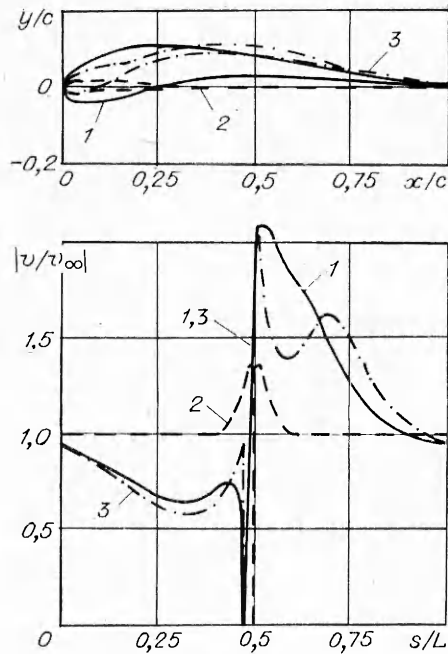


Рис. 3

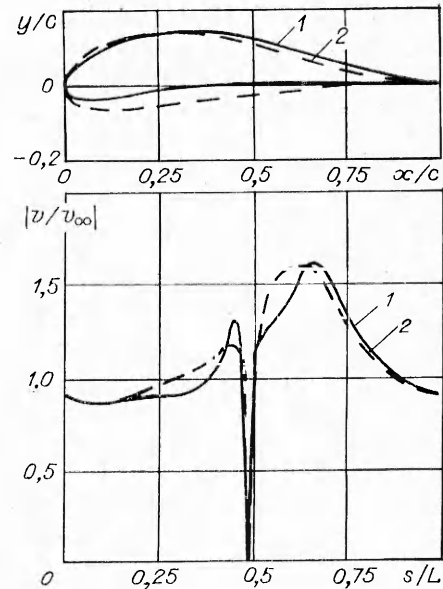


Рис. 4

β можно с точностью до 1—2% заменить ограничением

$$(5.1) \quad D(P) \leq \widehat{D} = \widehat{C}_x [2^{3,2} (2Aa)^{1/a} \text{Re}^{-1/(m+1)} d]^{-1}, \quad d = 2,04 \div 2,13.$$

Неравенство (5.1) служит дополнительным ограничением на множество U при минимизации $J(P)$.

На рис. 4 линией 1 представлено решение этой задачи для $\beta = 0,1$, $\text{Re} = 10^6$ и $\widehat{C}_x = 0,015$. Профиль имеет $C_y = 0,706$ при $\alpha = 0,78^\circ$.

Пусть теперь задано дополнительное ограничение $C_y \geq \widehat{C}_y$. В силу (2.8) при фиксированном β оно эквивалентно неравенству

$$(5.2) \quad J(P) \leq \widehat{J} = 4\pi d \sin \beta / \widehat{C}_y.$$

Получили задачу минимизации функционала $D(P)$ на множестве U с дополнительным ограничением (5.2). На рис. 4 профиль 2 — решение последней задачи при $\beta = 0,1$, $\text{Re} = 10^6$ и $\widehat{C}_y = 0,720$, здесь $C_x = 0,0159$ при $\alpha = 2,6^\circ$.

Отметим, что описанные в настоящем разделе задачи легко распространяются на случай, когда величина β является переменной.

6. Оптимизация с учетом условий безотрывности для диапазона углов атаки. Как известно, даже при небольших изменениях угла атаки из-за возникающего отрыва потока может произойти значительное ухудшение аэродинамических характеристик крылового профиля. Поэтому с практической точки зрения важна задача проектирования оптимизированных профилей, обтекаемых безотрывно в достаточно широком диапазоне углов атаки.

В [19] получено условие отсутствия отрыва полностью турбулентного пограничного слоя при изменении угла атаки α в заданном диапазоне $\delta = \alpha_1 - \alpha_2$, $\alpha_2 \leq \alpha \leq \alpha_1$. Это условие имеет вид

$$(6.1) \quad f(v_j; s_j, s) \geq f_*, \quad s \in [s_1, L] \text{ при } j=1, \quad s \in [0, s_2] \text{ при } j=2.$$

Здесь $v_j(s)$ — распределения скорости на верхней ($j=1$) и нижней ($j=2$) поверхностях профиля при его обтекании соответственно под углами атаки α_1 и α_2 ; s_j — дуговые абсциссы точек разветвления потока при $\alpha = \alpha_j$. Формпараметр $f(v_j; s_j, s)$ определяется формулой (2.2) при

$C = 0$, $s_n = s_j$ и $v(s) = v_j(s)$. Переходя в (6.4) от $v_j(s)$ к $v_j(\gamma)$ (см. (3.3)) и учитывая, что абсциссам s_j отвечают полярные углы $\gamma_j = \pi + 2\beta_j$ ($\beta_2 \leq \beta \leq \beta_1$) на единичной окружности, получим условие безотрывности обтекания профиля в диапазоне $\delta = \alpha_1 - \alpha_2 = \beta_1 - \beta_2$ в виде (2.7), где $\beta = \beta_1$ при $j = 1$ и $\beta = \beta_2$ при $j = 2$. Названное условие легко использовать вместо (2.7) в качестве ограничения на множество управляющих функций $P(\gamma)$.

Авторы благодарят Н. Б. Ильинского и Г. Ю. Степанова за полезные замечания.

ЛИТЕРАТУРА

1. Тумашев Г. Г., Нужин М. Т. Обратные краевые задачи и их приложения.— Казань: Казан. гос. ун-т, 1965.
2. Аксентьев Л. А. Об однолистной разрешимости обратных краевых задач // Тр. семинара по краевым задачам/Казан. гос. ун-т.— 1973.— Вып. 10.
3. Лаврентьев М. А. Об одной экстремальной задаче в теории крыла аэроплана // Тр. ЦАГИ.— 1934.— Вып. 155.
4. Лаврентьев М. А., Шабат Б. В. Методы теории функций комплексного переменного.— М.: Наука, 1973.
5. Зубов В. И. К вопросу об оптимальном профиле крыла в потоке идеальной несжимаемой жидкости // ЖВММФ.— 1980.— Т. 20, № 1.
6. Иванов С., Недялков И., Панов Л., Петрова П. Върху един модел за решаване на оптимизационни задачи в теорията на крилото // Год. ВУЗ. Техн. физ.— 1979 (1980).— Т. 16, № 2.
7. Варсамов К., Недялков И., Петрова П., Хаджимихалев П. Върху една екстремална задача за профил с минимално съпротивление и зададена подъемна сила // Год. ВУЗ. Техн. физ.— 1984.— Т. 18, № 2.
8. Арутюнов Ю. А., Осовский А. Е. Некоторые задачи оптимизации аэродинамических характеристик в несжимаемой жидкости // 5-й Всесоюз. съезд по теор. и прикл. мех.: Аннот. докл.— Алма-Ата, 1981.
9. Пашева В., Петрова П. Някои числени експерименти за конструиране на крилни профили със зададени характеристики и възможно помалко съпротивление // Год. ВУЗ. Техн. физ.— 1982 (1983).— Т. 19, № 2.
10. Елизаров А. М., Ильинский И. Б., Поташев А. В. Обратные краевые задачи аэрогидродинамики // Итоги науки и техники. ВИНТИ. Сер. Механика жидкости и газа.— 1989.— Т. 23.
11. Елизаров А. М., Федоров Е. В. Оптимизация аэродинамических форм методом обратных краевых задач // ПММ.— 1990.— Т. 54, № 4.
12. Степанов Г. Ю. Гидродинамика решеток турбомашин.— М.: Изд-во физ.-мат. лит., 1962.
13. Степанов Г. Ю. Об основных модельных представлениях механики жидкости и газа в теории крыла // Некоторые вопросы механики сплошной среды.— М.: Изд-во МГУ, 1976.
14. Лойцянский Л. Г. Механика жидкости и газа.— М.: Наука, 1987.
15. Eppler R. Practical calculation of laminar and turbulent bled-off boundary layers // NASA TM—75328.— 1978.
16. Авхадиев Ф. Г., Аксентьев Л. А., Елизаров А. М. Достаточные условия конечности аналитических функций и их приложения // Итоги науки и техники. ВИНТИ. Сер. Матем. анализ.— 1987.— Т. 25.
17. Евтушенко Ю. Г., Жадан В. Г. Релаксационный метод решения задач нелинейного программирования // ЖВММФ.— 1977.— Т. 17, № 4.
18. Liebeck R. H. Design of subsonic airfoil for high lift // J. Aircraft.— 1978.— V. 15, N 9.
19. Елизаров А. М., Фокин Д. А. Построение крыловых профилей, обтекаемых безотрывно в заданном диапазоне изменения углов атаки // Изв. АН СССР. МЖГ.— 1990.— № 3.

г. Казань

Поступила 12/XII 1991 г.,
в окончательном варианте — 10/III 1992 г.